О ВОЗМОЖНОСТИ ЗАПИСИ РЕНТГЕНОВСКОЙ КОРОТКОВОЛНОВОЙ ГОЛОГРАММЫ

А. М. ЕГИАЗАРЯН, П. А. БЕЗИРГАНЯН

Теоретически оценена комплексная степень поперечной когерентности γ_{12} рентгеновского излучения, дифрагированного в идеальном поглощающем кристалле по Лауэ. На основе общего решения уравнений Такаги изучено влияние кристалла-анализатора рентгеновского трехблочного интерферометра на падающее интерференционное поле. Показано, что интерферограмма, записанная в таком интерферометре, в рассматриваемом случае яв ляется голограммой соответствующей предметной волны.

Осуществление рентгеновской голографии откроет новые перспективы перед голографической микроскопией. Решение ее проблем также даст возможность восстановить фазу рентгеновской волны, которая безвозвратно теряется в рентгеновских топограммах. Однако в последнее время высказываются сомнения о возможности распространения голографического метода восстановления волнового фронта на область рентгеновских лучей с целью получения разрешений порядка 1 Å. Это обусловлено специфическими трудностями, которые возникают при резком уменьшении длины волны излучения.

Основными трудностями являются: а) отсутствие источников когерентного излучения рентгеновских лучей; б) недостаточная разрешающая способность регистрирующих материалов; в) невозможность концентрации энергии рентгеновских лучей на малом объеме исследуемого материала.

Тем не менее некоторым авторам удалось получить рентгеновские голограммы с низкой контрастностью с использованием известных схем онтической голографии. По осевой схеме были записаны голограммы Фраунгофера [1—3] одномерных, двумерных и трехмерных микрообъектов. С разделением пучков зеркалом Ллойда [6, 7] и по схеме безлинзовой голографии Фурье [4, 5] были получены голограммы одномерных и двумерных микрообъектов. В этих работах для записи голограмм применялись характеристическое AlK_{α} ($\lambda_0 = 8,34$ Å), BeK_{α} , CK_{α} и синхротронное ($\lambda_0 = 60$ Å) излучения, а восстановление изображений проводилось излучением He-Ne-лазера ($\lambda_1 = 6328$ Å). Изображения с соответствующим увеличением, пропорциональным величине λ_1/λ_0 , имели пространственное разрешение порядка микрона.

Исходя из этих скромных достижений рентгеновской голографической микроскопии, авторы работы [8] предложили схему рентгеновского интерференционного микроскопа, в котором микрообъект освещается дифракционно-сфокусированным полихроматическим излучением. Однако предлагаемая оценка [9] разрешающей способности выдвинутой схемы нуждается в более четком теоретическом обосновании. В изобретениях [10, 11] предложены специальные схемы рентгеноголографического микроскопа для исследования микроструктур в поглощающем совершенном кристалле монохроматизированным излучением. К сожалению в этих схемах
не учтены недостаточная временная когерентность излучения [10] и недостаточная разрешающая способность регистрирующих материалов [11],
что лишает их практической ценности.

В связи с четкой формулировкой требований, предъявляемых в голографии к когерентным характеристикам источников, решение проблем рентгеновской голографии становится актуальной задачей. При дифракции в идеальном кристалле одновременно увеличиваются пространственная и временная когерентности рентгеновского излучения. В наших теоретических работах [12, 13] на основе расчетов функции комплексной степени пространственной когерентности оценены когерентные характеристики дифрагированного в рентгеновском резонаторе излучения. Рассмотрен также вопрос о применении резонированного излучения для записи голограмм микрообъектов по осевой схеме.

В настоящей работе рассчитана комплексная степень поперечной когерентности γ_{12} рентгеновского излучения, дифрагированного в идеальном поглощающем лаув-кристалле, и оценен радиус области его когерентности (индексы 1 и 2 относятся к рассматриваемым точкам). На основе использования общего решения [14] уравнений Такаги, описывающих распространение рентгеновской волны в идеальном кристалле, изучено влияние кристалла-анализатора A интерферометра, описанного Бонзе и Хартом [15], на падающее интерференционное поле. Показано, что интерферограмма, записанная в таком интерферометре, является голограммой соответствующей предметной волны, когда $\mu t_s \gg 1$, где μ — коэффициент линейного поглощения кристалла, а t^s — толщина кристалла-разделителя интерферометра.

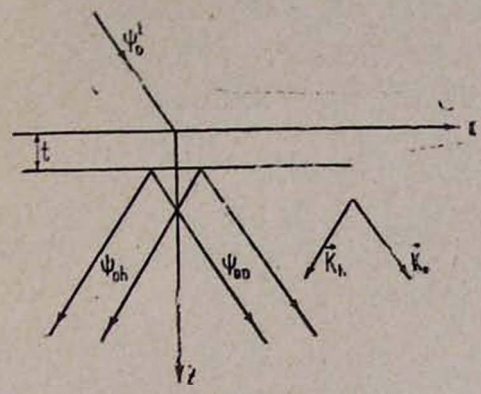
1. О когерентности излучения, дифрагированного в кристалле по Лаув

Рассмотрим образец совершенного лауэ-кристалла с $\mu t \gg 1$ (t— толщина образца) и с плоско-параллельными гранями, ориентированный по
одному из брэгговских положений относительно падающего на него излучения, амплитуда которого равна $\varphi_0^t(\mathbf{r})$ (см. рис. 1). Координатные оси x и z выбраны соответственно параллельно и перпендикулярно к поверхности входной грани так, что плоскость падения совпадает с плоскостью xz. Квазиамплитуды выходящих из кристалла волн в направлениях 0 и h определяются общим решением телеграфного уравнения [14] с соответствующими функциями Римана G_0 и G_h :

$$\psi_{00}(\mathbf{r}_{e}) = \int_{A_{0}} \psi_{0}(\mathbf{r}_{0}) G_{0}(\mathbf{r}_{e} - \mathbf{r}_{0}) d\mathbf{r}_{0},$$

$$\psi_{0h}(\mathbf{r}_{e}) = \int_{A_{0}} \psi_{0}(\mathbf{r}_{0}) G_{h}(\mathbf{r}_{e} - \mathbf{r}_{0}) d\mathbf{r}_{0},$$
(1)

где интегрирование проводится по поверхности входной грани кристалла A_0 , издексы 0 и е при радиус-векторе относятся соответственно к входной и выходной граням



Рв. 1. Взаимная ориентация падающей и выходящих волн относительно кристаллического образца.

$$\psi_0(\mathbf{r}_0) = \psi_0^I(\mathbf{r}_0) \exp\left[-i\left(\mathbf{k}_0^I - K_0\right)\mathbf{r}_0\right]$$

$$-\mathbf{K}_0\mathbf{r}_0$$

определяется из условий непрерывности волновой функции на поверхности A_0 , \mathbf{k}_0^I — волновой вектор падающей волны в вакууме, а \mathbf{K}_0 — волновой вектор волны, проходящей через кристалл.

При распространении в совершенном кристалле расшенал ение модуля волнового вектора $\Delta K_0 \sim 10$ мкм $^{-1}$. Поэтому можно утверждать, что

длина когерентности Δl выходящего из совершенного кристалла излучения порядка 10 мкм. Выходную грань кристалла будем рассматривать как новый источник излучения, отдельные элементы которого (с размерами, малыми по сравнению со средней длиной волны) излучают с амплитудами ψ_{00} (\mathbf{r}_e) и $|\psi_{0h}$ (\mathbf{r}_e) в соответствующих направлениях.

Определим пространственную когерентность в двух точках $p_1(x_1)$ и $p_2(x_2)$ плоскости, расположенной на расстоянии $R\gg t$ от поверхности Aе выходной грани кристалла, при условии $|x_2-x_1|\ll \Delta l$. Считая, что возбуждения в точках $p_1(x_1)$ и $p_2(x_2)$, создаваемые вышеупомянутыми элементами, взаимно некогерентны, определим комплексную степень когерентности $\gamma_{12}(x_1, x_2)$, используя теорему Ван-Циттерта-Цернике [46]. Заметим, что условие $R\gg t$ обеспечивает пространственное разделёние дифрагированных пучков, распространяющихся в направлениях 0 и h, если только их поперечные размеры порядка t. Когда p_1 и p_2 расположены в пучке, распространяющемся в направлении h, то

$$\gamma_{12}^{h} = \int_{A_{e}} I^{h}(\mathbf{r}_{e}) \frac{\exp\left[ik_{h}(r_{2}-r_{1})\right]}{r_{2}r_{1}} d\mathbf{r}_{e} / \sqrt{I^{h}(p_{1})} \sqrt{I^{h}(p_{2})}; \qquad (2a)$$

соответственно имеем

$$\gamma_{12}^{0} = \int_{A_{e}}^{I^{0}} (\mathbf{r}_{e}) \frac{\exp\left[ik_{0}\left(r_{2} - r_{1}\right)\right]}{r_{2}r_{1}} / \sqrt{I^{0}\left(p_{1}\right)} \sqrt{I_{0}\left(p_{2}\right)}, \tag{26}$$

где $k_0 = k_h = |\mathbf{k}_0^I|$, $I^0(p_1)$, $I^0(p_2)$, $I^h(p_1)$, $I^h(p_2)$ — соответствующие суммарные интенсивности в точках p_1 и p_2 , $I^0(\mathbf{r}_e) = |\psi_{00}(\mathbf{r}_e)|^2$, $I^h(\mathbf{r}_e) = |\psi_{0h}|^2$, а r_1 и r_2 — расстояния точек p_1 и p_2 от точки на поверхности A_e с радиус-вектором \mathbf{r}_e .

В случае, когда поперечные размеры падающего на кристалл пучка меньше или порядка t, основной вклад в интегралы (2a) и (26) дают элементы выходной грани с радиус-векторами, меняющимися по модулю в пределах величины порядка t. Имея в виду, что

$$r_1 = [R^2 + (x_e - x_1)^2]^{1/2}, r_2 = [R^2 + (x_e - x_2)^2]^{1/2},$$

при дополнительном условии $R \gg [k_0 (x_2 - x_1)]^{1/2} t$ находим

$$\gamma_{12}^{h} = \exp ik_{0} \left| \frac{(x_{1} - x_{2})^{2}}{2R} + (x_{1} - x_{2})\sin\theta_{B} \right| \times \\
\times \int_{A_{e}} I^{h}(\theta) \exp \left[-ik_{0} \frac{(x_{2} - x_{1})(1 + \sin\theta_{B}\cos\theta_{B})}{\cos\theta_{B}} \theta \right] d\theta / \int_{A_{e}} I^{h}(\theta) d\theta, \\
\gamma_{12}^{0} = \exp ik_{0} \left[\frac{(x_{1} - x_{2})^{2}}{2R} + (x_{1} - x_{2})\sin\theta_{B} \right] \times \\
\times \int_{A} I^{0}(\theta) \exp \left[-ik_{0} \frac{(x_{2} - x_{1})(1 + \sin\theta_{B}\cos\theta_{B})}{\cos\theta_{B}} \theta \right] d\theta / \int_{A} I^{0}(\theta) d\theta,$$

где $I^h(\theta)$ и $I^0(\theta)$ —угловые распределения интенсивностей выходящих пучков в соответствующих направлениях, θ — угол отклонения от точного угла Брегга θ_B .

Согласно теореме о свертке для двухстороннего преобразования Фурье [17], из (1) следует

$$\psi_{00}(\mathbf{r}_{e}) = \psi_{00}(x, z=t) = \frac{1}{2\pi} \int_{-\infty}^{\infty} \exp(ipx) F^{00}(p) dp,$$

$$\psi_{0h}(\mathbf{r}_{e}) = \psi_{0h}(x, z=t) = \frac{1}{2\pi} \int_{-\infty}^{\infty} \exp(ipx) F^{0h}(p) dp;$$
(4)

здесь $F^{00}(p) = \Phi_0^l(p) F^0(p)$, $F^{oh}(p) = \Phi_0^l(p) F^h(p)$, $\Phi_0^l(p)$ — фурье-образфункции $\Psi_0(x, z = 0)$, а $F^0(p)$ и $F^h(p)$ — соответственно фурье-образы функций G_0 и G_h .

Если на кристалл падает узкий пучок единичной интенсивности, $\psi_0(\mathbf{r}_0) = \psi_0(x, z=0) = \delta(x)$, то $\Phi_0^I(p) \equiv 1$. В рассматриваемом случае из общего решения уравнений Такаги методом преобразований Лапласа [18] находим

$$I^{h}(\Theta) = \left(\frac{K_{0}Cx_{h}}{2\gamma_{h}}\right)^{2} / [\beta^{2} + \Theta^{2} b_{1h}^{2}],$$

$$I^{0}(\Theta) = [1 - \Theta b_{10}/[\beta^{2} + \Theta^{2} b_{10}^{2}]^{1/2}]^{2},$$
(5)

тде

 $\beta = 2\pi K_0 c (x_h x_h^2)^{1/2} / (\gamma_0 \gamma_h)^{1/2}, \ b_{1h} = \pi K_0 \sin 2 \Theta_B / \gamma_0, \ b_{10} = \pi K_0 \sin 2 \Theta_B / \gamma_h,$

 7_0 и 7_h — направляющие косинусы проходящей и отраженной волн, c — поляризационный фактор, равный единице для σ -поляризации и $\cos 2\theta_B$ для π -поляризации, 7_h и 7_h — соответствующие компоненты фурье-разложения поляризуемости.

Из (5) и (3) после ряда упрощений находим

$$|\gamma_{12}^h(x_1, x_2)| = \exp[-\alpha |x_1 - x_2|],$$
 (6)

где $x = (K_0 \beta/b_{1h}) \left[\sin \Theta_B + \frac{1}{\cos \Theta_B} \right]$, т. е. при изменении $|x_1 - x_2|$ в пределах $0 \leqslant |x_1 - x_2| \leqslant 1/x$ имеем $|\gamma_{12}^h| \sim 1$. Для излучения MoK_2 и симмет ричного отражения (220) кристалла кремния $|x_1 - x_2|_{\text{мекс.}} \sim 1/x \sim 1$ мкм.

Анализ подынтегрального выражения γ_{12}^0 показывает, что приведенные оценки справедливы также для $|\gamma_{12}^0|$. Из (6) видно, что радиус области когерентности дифрагированного в кристалле излучения прямо пропорционален его длине волны.

2. Влияние кристалла-анализатора на интерференционное поле

Рассмотрим влияние кристалла-анализатора интерферометра, описанного в [15], на падающее интерференционное поле. Численные оценки в пользу применимости приближения плоской волны для падающего на

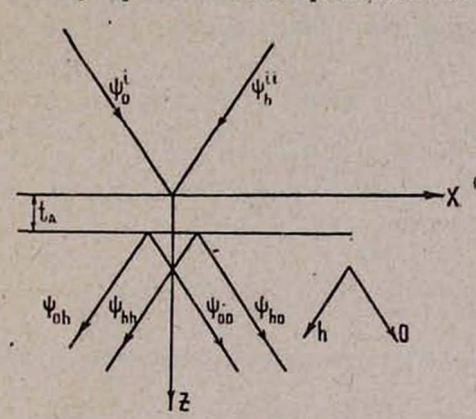


Рис. 2. Взаимная ориентация падающих и выходящих воли относительно кристалла-анализатора.

интерферометр излучения приведены в монографии [19]. Пусть на поверхность входной грани кристалла-анализатора A (рис. 2) под точным углом Брэгга падают плоская волна $\psi_0^i(\mathbf{r}) = \alpha \exp\left[-i\mathbf{k}_0^i\mathbf{r}\right]$ и волна, отличающаяся от плоской на фазу ϕ (\mathbf{r}), удовлетворяющую условию

$$|\text{grad } \varphi(\mathbf{r})| \leq 10^3 \text{ cm}^{-1}, \quad (7)$$

$$\psi_{h}^{ll}(\mathbf{r}) = a \exp \left[-i\mathbf{k}_{0}^{ll}\mathbf{r} - i\varphi(\mathbf{r})\right],$$
rae $|\mathbf{k}_{0}^{ll}| = |\mathbf{k}_{0}^{ll}| = k_{0}.$

Интерференционное поле на поверхности $A_{\mathfrak{o}}$ описывается функцией интенсивности

$$J(\mathbf{r}_{0}) = [\psi_{0}^{l}(\mathbf{r}_{0}) + \psi_{h}^{ll}(\mathbf{r}_{0})] [\psi_{0}^{l}(\mathbf{r}_{0}) + \psi_{h}^{ll}(\mathbf{r}_{0})]^{*} =$$

$$= 2 \alpha^{2} [1 + \cos[(\mathbf{k}_{0}^{l} - \mathbf{k}_{0}^{ll}) \mathbf{r}_{0} - \varphi(\mathbf{r}_{0})]]. \tag{8}$$

Очевидно, что $J(\mathbf{r}_0)$ представляет собой частотную модуляцию интенсивности высокой частоты $(\mathbf{k}_0^I - \mathbf{k}_0^{II}) \mathbf{r}_0$ по низкой частоте $\phi(\mathbf{r}_0)$.

Комплексные амплитуды $\psi_{0h}(\mathbf{r}_e)$ и $\psi_{hh}(\mathbf{r}_e)$ интерферирующих волн, распространяющихся в направлении h, определим из общего решения уравнений Такаги методом преобразований Лапласа [18]:

$$\psi_{0h}\left(\mathbf{r}_{e}\right) = \exp\left[-i\mathbf{K}_{h}\mathbf{r}_{e}\right] \left\{ \frac{iK_{0}c\lambda_{h}^{c}}{2\gamma_{h}} \int_{c_{s}-l_{\infty}}^{c_{s}+l_{\infty}} dp \,\Phi_{00}\left(p\right) \frac{\exp\left[p\left(x-at\right)\right]}{\sqrt{\beta^{2}-p^{2}b^{2}}} \times \right. \\
\left. \times \left[\exp\left(i\sqrt{\beta^{2}-p^{2}b^{2}}t\right) - \exp\left(-i\sqrt{\beta^{2}-p^{2}b^{2}}t\right)\right] \right\}, \tag{9}$$

$$\psi_{hh}\left(\mathbf{r}_{e}\right) = \frac{1}{2\pi i} \exp\left[-i\mathbf{K}_{h}\mathbf{r}_{e}\right] \int_{c_{s}-l_{\infty}}^{c_{s}-l_{\infty}} dp \,\Phi_{hh}\left(p\right) \frac{\left[ipb+\sqrt{\beta^{2}-p^{2}b^{2}}\right]}{\sqrt{\beta^{2}-p^{2}b^{2}}} \times$$

 $\times \exp \left[p(x-at)\right] \left[\exp \left(i\sqrt{\beta^2-p^2b^2}t\right) - \exp \left(-i\sqrt{\beta^2-p^2b^2}t\right)\right],$ т де $\Phi_{00}(p)$ и $\Phi_{hh}(p)$ — лапласианы функций

$$\psi_{00}(\mathbf{r}_{0}) = a \exp \left[-i\left[(\mathbf{k}_{0}^{i} - \mathbf{K}_{0})_{x} x\right]\right],$$

$$\psi_{hh}(\mathbf{r}_{0}) = a \exp \left\{-i\left[(\mathbf{k}_{0}^{i} - \mathbf{K}_{h})_{x} x + \varphi(x, z=0)\right]\right\},$$

определяемых из условий непрерывности волновых функций на поверхности входной грани кристалла, K_0 и K_h — волновые векторы внутри кристалла в соответствующих направлениях, $|K_0| = |K_h| = K_0$,

$$b=\sin 2 \, \Theta_B/2 \, \gamma_0 \gamma_h$$
, $\alpha=\sin (\alpha_0-\alpha_h)/2 \, \gamma_0 \gamma_h$, $\alpha_0=\Theta_B+\alpha$, $\alpha_h=\Theta_B-\alpha$, α — угол асимметричности кристалла.

В рассматриваемом случае $\alpha = 0$ и, следовательно, $\alpha = 0$.

Пусть $\varphi(x, z = 0) = a_0 x$ — линейно меняющаяся функция координаты x. Согласно условию, наложенному на $\varphi(x, z)$, $a_0 \leqslant 10^3$ см⁻¹. Нетрудно убедиться, что

$$\Phi_{00}(ip) = \delta(p + k_{0x}^{l} - K_{0x}), \ \Phi_{hh}(ip) = \delta(p + k_{0x}^{ll} - K_{hx} - a_{0}). \ (10)$$

Переходя в формулах (9) к преобразованию Фурье и имея в виду (10), получаем

$$\psi_{0h}(\mathbf{r}_{e}) = c_{0} \exp \left[-ix \left(k_{0x}^{i} - K_{0x}\right) - i\mathbf{K}_{h}\mathbf{r}_{e}\right],
\psi_{hh}(\mathbf{r}_{e}) = c_{h} \exp \left\{\left[-ix \left(k_{0x}^{i} - K_{0x}\right) - i\alpha_{0}x\right] - i\mathbf{K}_{h}\mathbf{r}_{e}\right],$$
(11)

где c_o и c_h — комплексные числа, не влияющие на взаимное расположение интерференционных максимумов. Интенсивность J^h (r_e) интерференционного поля определим из (11):

$$J^{h}(\mathbf{r}_{e}) = [\psi_{0h}(\mathbf{r}_{e}) + \psi_{hh}(\mathbf{r}_{e})][\psi_{0h}(\mathbf{r}_{e}) + \psi_{hh}(\mathbf{r}_{e})]^{*} = c^{0} + c^{1}\cos(\alpha_{0}x + \varphi_{0}), \quad (12)$$

$$\mathbf{r}_{A}\mathbf{e}$$

$$c^{0} = |c_{0}|^{2} + |c_{h}|^{2}, \quad c^{1} = 2|c_{0}c_{*}^{*}|, \quad \varphi_{0} = \arg c_{0}c_{*}^{*}.$$

Из сопоставления выражений (8) и (12) для интенсивностей интерференционных полей на поверхностях входа и выхода можно заключить,

что кристалл-анализатор играет роль своего рода частотного фильтра интенсивности интерференционного подя, пропуская через себя только низкую частоту его частотной модуляции.

В случае произвольной зависимости $\phi = \phi(\mathbf{r}_0)$, удовлетворяющей условию (7), при дифракции в кристалле поверхнести постоянной фазыволн ψ_h^H и ψ_{hh} не совпадают. Однако представив ψ_{hh} (\mathbf{r}_e) в виде

$$\psi_{hh}\left(\mathbf{r}_{e}\right)=\left|\psi_{hh}\left(\mathbf{r}_{e}\right)\right|\exp\left[-i\mathbf{K}_{h}\mathbf{r}_{e}+i\varphi_{1}\left(\mathbf{r}_{e}\right)\right],$$

исходя из физических соображений можно утверждать, что функция $\varphi_1(r_e)$ также удовлетворяет условию (7), $|\operatorname{grad} \varphi_1(r)| \leqslant 10^3 \ cm^{-1}$. Тога для интенсивности $\int_{-r_e}^{h} (r_e)$ получаем

$$\int_{h}^{h}(\mathbf{r}_{e}) = \alpha^{2} + |\psi_{hh}(\mathbf{r}_{e})|^{2} + 2\alpha|\psi_{hh}(\mathbf{r}_{e})|\cos\varphi_{1}(\mathbf{r}_{e}). \tag{13}$$

3. Восстановление волнового поля

Имея в виду оценки когерентных характеристик дифрагированного в идеальном кристалле излучения и четкую формулировку требований [20, 21], предъявляемых к источникам, пригодным для голографии, можно утверждать, что интерферограмма, записанная по рассмотренной схеме, является голограммой предметной волны $\psi_{hh}(\mathbf{r}_e)$ (см. [21]). Плоская волна с амплитудой $\psi_{0h}(\mathbf{r}_e)$ служит опорной волной. Восстановление волны ψ_{hh} в оптическом диапазоне можно провести с помощью излучения обычного H_e - N_e -лазера.

Если записанная голограмма проэкспонирована и проявлена таким образом, что рабочий диапазон кривой почернения не выходит за пределы линейного участка характеристической кривой фотоэмульсии, а коэф-фициент контрастности $\gamma = -2$, то амплитудное пропускание есть

$$t\left(\mathbf{r}\right)=J^{h}\left(\mathbf{r}\right).$$

При освещении голограммы плоской волной оптического диапазона: благодаря дифракции света на интерференционной картине непосредственно за голограммой образуются волны с амплитудой

$$\psi_{\text{вых.}}(\mathbf{r}) = \exp(-i\mathbf{K}_{\text{on}}\mathbf{r}) t (\mathbf{r}) = [a^2 + |\psi_{hh}(\mathbf{r})|^2] \exp(-i\mathbf{K}_{\text{on}}\mathbf{r}) +$$
 $+ a |\psi_{hh}(\mathbf{r})| \exp[-i\mathbf{K}_{\text{on}}\mathbf{r} + i\varphi_1(\mathbf{r})] + a |\psi_{hh}(\mathbf{r})| \exp[-i\mathbf{K}_{\text{on}}\mathbf{r} - i\varphi_1(\mathbf{r})].$ (14) Три слагаемых в выражении (14) соответствуют трем волнам, распространяющимся в разных направлениях с единичными векторами

$$\mathbf{i} = \frac{\mathbf{K}_{\text{on}}}{\left|\mathbf{K}_{\text{on}}\right|}, \quad \mathbf{j} = \frac{\mathbf{K}_{\text{on}} + \operatorname{grad} \, \phi_{1}\left(\mathbf{r}\right)}{\left|\mathbf{K}_{\text{on}} + \operatorname{grad} \, \phi_{1}\left(\mathbf{r}\right)\right|}, \quad \mathbf{k} = \frac{\mathbf{K}_{\text{on}} - \operatorname{grad} \, \phi_{1}\left(\mathbf{r}\right)}{\left|\mathbf{K}_{\text{on}} - \operatorname{grad} \, \phi_{1}\left(\mathbf{r}\right)\right|}.$$

Из условия (7) следует, что в рассматриваемом случае углы между и ј, і и k, ј и k — порядка радиана. Следовательно, на расстояниях порядка размеров записанной голограммы дифрагированные волны, соответствующие разным членам выражения (14), пространственно разделяются. Из (14) следует, что образованные дифракцией на голограмме воле

ны оптического диапазона, соответствующие второму и третьему членам (14), имеют такое же пространственное распределение фазы и амплитуды, что и волна % hn (r) рентгеновской области.

Ереванский государственный университет

Поступила 5.VII.1979

ЛИТЕРАТУРА

1. J. W. Giles. J. Opt. Soc. Am., 59, 1179 (1969).

- 2. S. Yokoseki, T. Suzuki. Jap. J. Appl. Phys., 9, 419 (1970).
- 3. S. Aoki, S. Kikuta. Jap. J. Appl. Phys., 13, 1385 (1974).

4. S. Kikuta et al. Opt. Comm., 5, 86 (1972).

5. S. Aoki, Y. Ichihara, S. Kikuta. Jap. J. Appl. Phys., 11, 1857 (1972).

6. J. W. Giles. J. Opt. Soc. Am., 59, 778 (1969).

7. E. J. Saccocio. J. Opt. Soc. Am., 57, 966 (1967).

8. В. В. Аристов, Г. А. Башкина. Материалы Всесоюзного межвузовского совещания по многоволновому рассеянию рентгеновских лучей, Изд. ЕГУ, 1978, стр. 123.

9. И. С. Клименко, Г. В. Скроцкий. УФН, 109, 269 (1973).

- 10. N. Spielberg. United States Patent Office, 3, 393, 314 (1968) Hartsdalle.
- 11. N. Spielberg. United States Patent Office, 3, 381, 127 (1968) Hartsdalle .
- А. М. Егиазарян, А. Г. Ростомян, П. А. Безирганян. Материалы Всесоюзного межвузовского совещания по многоволновому рассеянию рентгеновских лучей, Изд. ЕГУ, 1978, стр. 104.

13. А. М. Егиазарян, А. Г. Ростомян, П. А. Безирганян. ДАН АрмССР, 16, 228

(1978).

14. В. Л. Инденбом, Ф. Н. Чуховский. УФН, 107, 229, (1972).

U. Bonse, M. Hart. Appl. Phys. Lett., 6, 155 (1965); Z. Phys., 154, 188 (1965);
 190, 455 (1966).

16. М. Борн, Э. Вольф. Основы оптики, Изд. Наука, М., 1973, стр. 275.

17. А. Г. Свешников, А. Н. Тихонов. Теория функций комплексной переменной, Изд. Наука, М., 1967, гл. 8.

К. Г. Труни и др. Препринт ЕрГУ, 1973.

- Э. Г. Пинскер. Динамическое рассеяние рентгеновских лучей в идеальных кристаллах, Изд. Наука, М., 1974, гл. 10.
- Дж. Строук. Введение в когерентную потику и голографию, Изд. Мир, М., 1967, гл. 6.
- Л. М. Сороко. Основы голографии и когерентной оптики, Изд. Наука, М., 1971, гл. 6.

ՌԵՆՏԳԵՆՑԱՆ ԿԱՐՃԱԼԻՔ ՀՈԼՈԳՐԱՄՄԱՅԻ ԳՐԱՆՑՄԱՆ ՀՆԱՐԱՎՈՐՈՒԹՅԱՆ ՄԱՍԻՆ

Ա. Մ. ԵՂԻԱԶԱՐՅԱՆ, Պ. Հ. ԲԵԶԻՐԳԱՆՅԱՆ

Տեսականորեն հաշվված է իդեալական կլանող Լաուե բյուրեղում դիֆրակցված ռենտգենլան ճառագայիման լայնական կոհերենտության կոմպլեքս աստիճանը։ Օգտագործելով Տակագիի հավասարումների ընդհանուր լուծումը, ուսումնասիրված է Բոնղի և Հարթի կողմից առաջադրվաձ հռարլոկ ինտերֆերոմետրի անալիզատոր բլոկի ազդեցությունը ընկնող ինտերֆերենցիոն դաշտի վրա։ Ցգւյց է տրված, որ այդ ինտերֆերոմետրում գրանցված ինտերֆեըոգրամման հանդիսանում է համապատասխան առարկայական ալիքի հոլոգրամմա։

THE RECORDING OF X-RAY SHORT-WAVE HOLOGRAM

A. M. EGIAZARIAN, P. A. BEZIRGANIAN

The complex power of transverse coherence for X-ray radiation Laue-diffracted in an ideal absorbent crystal is calculated and the radius of its coherence is estimated. Using the Takagi general solution of equations, the effect of analyzer crystal of the interferometer, discribed by Bonse and Hart, on the incident interference field is studied. It is shown that the interferogram recorded in this interferometer is a hologram of the corresponding subject wave.